

高Ka 时有限长刚性圆柱的反向散射 ——几何衍射理论方法

谢云波

(中国科学院声学所东海研究站)

一、引言

人们早已成功地运用波动理论求出直边和楔的衍射场精确解^[1]。但是, 迄今为止尚未求得柱体、锥体等简单形状有限尺度目标的衍射场精确解。这是因为, 在大波数情况下, 波动理论难以处理来自柱体或锥体棱边的衍射波。而大多数实际目标其表面都存在尖锐的棱边或曲率半径为零的尖顶。所以, 波动理论具有很大的局限性。

自从五十年代 J. B. Keller 提出几何衍射理论(GTD)以来^[2], 该理论被运用到许多形状复杂物体的衍射场计算中, 并获得很大成功。GTD 具有计算简单、物理图象清晰、便于应用等优点。本文应用GTD求解了有限长刚性圆柱对平面入射声的反向散射, 对 GTD解在特定区域的发散现象进行了处理, 并对部分理论结果作了实验验证。

二、问题的分析

设一有限长刚性圆柱置于均匀介质中。一平面波与柱轴成 φ_0 角入射至柱体上。我们选用极坐标系, 令坐标原点与柱中心重合, 见图1。

为方便起见, 假设入射波为单位振幅平面波。

则 $P(\rho, \theta)$ 处入射波可表为:

$$U_i(\rho, \theta) = e^{-ik\rho \cos(\theta - \varphi_0)} \quad (1)$$

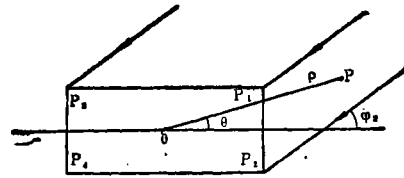


图1 入射波与圆柱的几何关系柱长为 h , 半径为 a

式中已略去时间因子 $e^{-i\omega t}$ 。

现讨论 $0^\circ \leq \varphi_0 \leq 90^\circ$ 区域的圆柱反向散射场空间分布。其余区域的场由问题的对称性即知。具体分析如下:

1. 据 GTD 边缘衍射定律易知^[2,3], 当柱体受到入射波照射时, 柱端的棱边产生衍射场。然而, 从入射声线方向看去, 只有 P_1 、 P_2 和 P_3 三点发出的部分衍射声线能够直接回到接收器。因为仅这三点处的棱边切线与入射声线垂直, 而棱边上其余点所发出的衍射则呈锥状散射到其他方向去了。如图2所示。 P_4 由于处在影区中, 故亦无反向贡献。

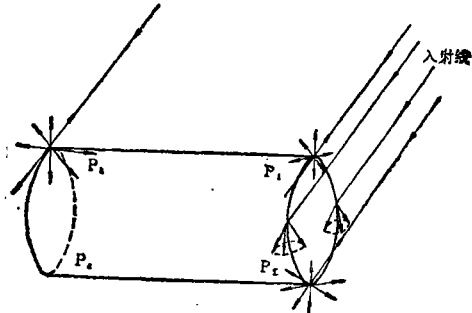


图2 柱端面上的衍射线分布

2. 我们不计二次以上衍射声线的贡献。

由GTD知, P_1 发出的一次衍射线, 尚可沿着柱端面入射到对面的 P_2 点, 被 P_2 再衍射一次后回到接收器。这条声线称为二次衍射线。对 P_2 亦有同样情况。从能量分配观点看, 入射声能经 P_1 一次衍射后, 仅有一小部分能量传到 P_2 受到再衍射, 而这部分能量中又只是一小部分能回到接收器。所以, 二次衍射线携回的能量比一次衍射线携回的能量至少小一个量级。因此, 可以忽略二次及更高次的衍射。

3. 由GTD公式, 衍射场可表为^[3]:

$$U_D(S, \varphi_2) = D(\varphi_1, \varphi_2) \cdot U_i(P_1) [(1 + \rho_i^{-1} \cdot S) \cdot S]^{-1/2} \cdot e^{ikS} \quad (2)$$

其中:

$$D(\varphi_1, \varphi_2) = \frac{e^{i\frac{\pi}{4}} \cdot \sin \frac{\pi}{n}}{n \cdot \sqrt{2\pi k}} \cdot \left[\left(\cos \frac{\pi}{n} - \cos \frac{\varphi_1 - \varphi_2}{n} \right)^{-1} \mp \left(\cos \frac{\pi}{n} - \cos \frac{\varphi_1 + \varphi_2}{n} \right)^{-1} \right] \quad (3)$$

称上式为衍射系数。(实为D的一级近似)

(2)、(3)两式中各量意义如下:

$U_i(P_1)$: P_1 处的入射场。

$U_D(S, \varphi_2)$: 表示在观察点(S, φ_2)接收到的、 P_1 发出的衍射场。

φ_1 : 入射声线逆向与柱端面之夹角。见图3。

φ_2 : 衍射声线与柱端面之夹角。见图3。

n : $(2-n)\pi$ 表示在衍射点 P_1 附近, 柱端面与其侧面的夹角。对于直圆柱, $(2-n)\pi = \pi/2$, 即 $n=3/2$ 。

ρ_i : 衍射点 P_1 至另一焦点点的有向距离。从 P_1 出发向焦点点作有向线段 ρ_i , 若线段行进方向与 P_1 发出的反向衍射线传播方向相反, 则 ρ_i 取正; 否则取负。

S : 观察到相应衍射点 P_1 的距离。

“ \mp ”: 正号对应刚性柱; 负号对应绝对软柱。

4. (S, φ_2)处的总声场应为:

$$U = U_g + U_D$$

其中 U_g 为几何场, 包括入射场和几何反射场。

U_D 为几何衍射场。在反向散射问题中不考虑入射场, 故总声场为: 几何反射场加几何衍射场。但在柱反射问题中, 仅当 $\varphi_0 = 0^\circ$ 和 90° 时方能收到几何反射场, 对于其他方向仅能收到衍射场 U_D 。

下面求解 U_D 。

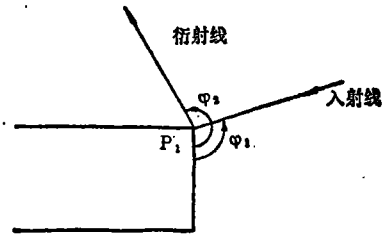


图3 φ_1, φ_2 的定义

三、三个衍射点的回波

1. P_1 的反向散射贡献

如图4所示。 P_1 的坐标为:

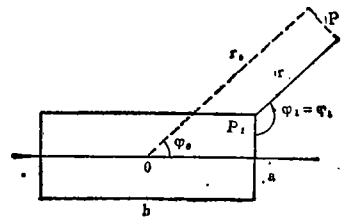


图4 P_1 的几何位置

$$\rho = [a^2 + (h/2)^2]^{1/2}$$

$$\theta = \text{tg}^{-1} \left(\frac{2a}{h} \right)$$

代入(1)式中得:

$$U_i(P_1) = \exp \left[-ik \cdot \sqrt{a^2 + (h/2)^2} \right] \cdot$$

$$\cos \left(\varphi_0 - \text{tg}^{-1} \left(\frac{2a}{h} \right) \right)$$

r_1 为 P_1 至观察点 P 的距离。由图4易知:

$$r_1 = r_0 - \left(\frac{h}{2} \cos \varphi_0 + a \cdot \sin \varphi_0 \right)$$

对应于 P_1 的 ρ_1 为^[3]:

$$\rho_1 = a / \sin \varphi_0$$

由此可得图5。即: 从 P_1 发出的反向衍射线,

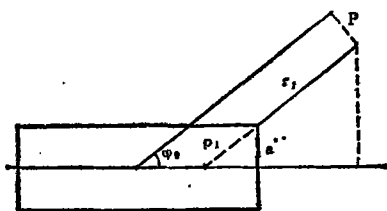


图5 ρ_1 的几何意义

其焦散点位于沿入射方向过 P_1 的沿长线与圆柱轴线的交点处。由图5得:

$$\frac{r_1 + \rho_1}{\rho_1} = \frac{r_1 + \rho_1}{a} \cdot \sin \varphi_0$$

在远场条件下, $r_1 + \rho_1 \approx r_0$, 故有:

$$\frac{r_1 + \rho_1}{\rho_1} \approx \frac{r_0 \cdot \sin \varphi_0}{a} \quad (4)$$

此处 r_1 即为(2)式中的 S 。故(2)式中的扩张因子为:

$$\begin{aligned} [(1 + \rho_1^{-1} \cdot S)S]^{-1/2} &= \left[\frac{\rho_1}{(\rho_1 + S)S} \right]^{1/2} \\ &\approx \left[\frac{a}{r_0 \cdot r_1 \cdot \sin \varphi_0} \right]^{1/2} \end{aligned}$$

另外, 对于反向散射来说 $\varphi_1 = \varphi_2 = \pi/2 + \varphi_0$, 见图4。代入(3)式得:

$$\begin{aligned} D &= \frac{e^{i\frac{\pi}{4}} \cdot \sin \frac{\pi}{n}}{n \cdot \sqrt{2\pi k}} \left[\left(\cos \frac{\pi}{n} - 1 \right)^{-1} + \right. \\ &\quad \left. \left(\cos \frac{\pi}{n} - \cos \frac{2\varphi_0 + \pi}{n} \right)^{-1} \right] \end{aligned}$$

将上述关系代入(2)式得:

$$\begin{aligned} U_1(r_1, \varphi_0) &= \sqrt{\frac{a}{r_0 \cdot r_1}} \cdot \frac{\sin \frac{\pi}{n}}{n \cdot \sqrt{2\pi k \sin \varphi_0}} \\ &\quad \cdot \exp \left\{ ik \left(r_1 - \sqrt{a^2 + h^2} \right) \cdot \right. \\ &\quad \left. \cos \left(\varphi_0 - \text{tg}^{-1} \frac{2a}{h} \right) + i \frac{\pi}{4} \right\} \\ &\quad \cdot \left[\left(\cos \frac{\pi}{n} - 1 \right)^{-1} + \left(\cos \frac{\pi}{n} - \cos \frac{2\varphi_0 + \pi}{n} \right)^{-1} \right] \quad (5) \end{aligned}$$

这就是 P_1 的回波。现分析一下 U_1 的奇异性。 $\varphi_0 = 0^\circ$ 是 U_1 的奇异点。此时入射波迎着端面

入射, 柱轴是焦散线。由于 P 点位于焦散线上, 故GTD解发散。这体现在(5)式中存在 $1/\sqrt{\sin \varphi_0}$ 这个因子。此外, 由于 $\varphi_0 = 0^\circ$ 是 P_1 几何反射域的边界, 故 D 的渐近式(3)不再适用。表现在:

$$\left(\cos \frac{\pi}{n} - \cos \frac{2\varphi_0 + \pi}{n} \right)^{-1} \Big|_{\varphi_0 \rightarrow 0} \rightarrow \infty$$

$\varphi_0 = 90^\circ$ 亦是 U_1 的奇异点。这对应于正横入射。此时 P 点也位于 P_1 几何反射域的边界, 故(3)式又发散。这表现在:

$$\left(\cos \frac{\pi}{n} - \cos \frac{2\varphi_0 + \pi}{n} \right)^{-1} \Big|_{\substack{\varphi_0 \rightarrow 90^\circ \\ n=3/2}} \rightarrow \infty$$

综上所述, U_1 在 $\varphi_0 = 0^\circ$ 和 90° 两处均发散。但导致发散的原因有两个, 后面将采取不同的方法加以处理。

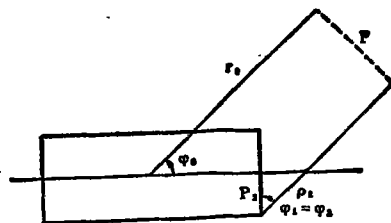


图6 ρ_2 的几何意义

2. P_2 的反向散射贡献

P_2 的坐标:

$$\rho = [a^2 + h^2/4]^{1/2}$$

$$\theta = -\text{tg}^{-1} \frac{2a}{h}$$

重复上节推导可得:

$$\begin{aligned} U_2(r_2, \varphi_0) &= \sqrt{\frac{a}{r_0 \cdot r_2}} \cdot \frac{\sin \frac{\pi}{n}}{n \cdot \sqrt{2\pi k \sin \varphi_0}} \\ &\quad \cdot \exp \left\{ ik \left(r_2 - \sqrt{a^2 + h^2/4} \right) \cdot \right. \\ &\quad \left. \cos \left(\varphi_0 + \text{tg}^{-1} \frac{2a}{h} \right) - i \frac{\pi}{4} \right\} \\ &\quad \cdot \left[\left(\cos \frac{\pi}{n} - 1 \right)^{-1} + \left(\cos \frac{\pi}{n} - \cos \frac{2\varphi_0 - \pi}{n} \right)^{-1} \right] \quad (6) \end{aligned}$$

这就是 P_2 点的回波。其中:

$$r_2 = r_0 - \left(\frac{h}{2} \cos \varphi_0 - a \sin \varphi_0 \right);$$

$$\rho_2 = -a / \sin \varphi_0$$

U_2 仅在 $\varphi_0 = 0^\circ$ 发散,与 U_1 情况相同。但是, 90° 并非 U_2 的奇异点。因为正横入射时,入射波仅被 P_1 处楔反射,而 P_2 处楔并不反射入射波。所以, $\varphi_0 = 90^\circ$ 不是 P_2 的反射域边界,故 U_2 在此并不发散。

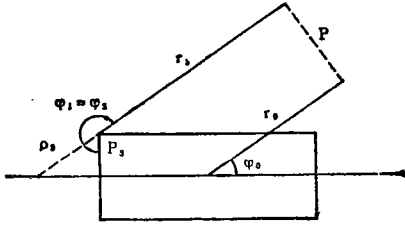


图7 ρ_3 的几何意义

3. P_3 的反向散射贡献

P_3 的坐标:

$$\rho = (a^2 + h^2/4)^{1/2}$$

$$\theta = \pi - \text{tg}^{-1} \frac{2a}{h}$$

同理可得:

$$U_3(r_3, \varphi_0) = \sqrt{\frac{a}{r_0 \cdot r_3}} \cdot \frac{\sin \frac{\pi}{n}}{n \cdot \sqrt{2\pi k \sin \varphi_0}} \cdot \exp \left\{ ik \left(r_3 + \sqrt{a^2 + h^2/4} \cdot \cos \left(\varphi_0 + \text{tg}^{-1} \frac{2a}{h} \right) \right) + i \frac{\pi}{4} \right\} \left[\left(\cos \frac{\pi}{n} - 1 \right)^{-1} + \left(\cos \frac{\pi}{n} - \cos \frac{2\varphi_0}{n} \right)^{-1} \right] \quad (7)$$

这就是 P_3 的回波。其中:

$$r_3 = r_0 + \left(\frac{h}{2} \cdot \cos \varphi_0 - a \sin \varphi_0 \right);$$

$$\rho_3 = a / \sin \varphi_0$$

参见图7。

U_3 在 $\varphi_0 = 0^\circ$ 发散,因为 P 点(收发点)位于焦散轴上。但衍射系数并不发散,这与 U_2 在 $\varphi_0 = 90^\circ$ 情况类似。 U_3 在 90° 附近发散,因为 $\varphi_0 = 90^\circ$ 是 P_3 的反射域边界,故 D 发散。

声学技术

(5)、(6)和(7)三式给出了柱体上可贡献回波的三个衍射点的反向散射场。对于收发点 P 来说,所收到的总衍射场即为三者之和:

$$U_D = U_1 + U_2 + U_3$$

四、GTD解发散的處理

(5)一(7)三式表明,GTD解在焦散轴处($\varphi_0 = 0^\circ$)和几何反射区边界处($\varphi_0 = 0^\circ$ 及 90°)是发散的。故在这两个区域附近GTD解不适用,必须对其进行处理。

1. 轴线附近区域的场

我们首先利用近轴、远场条件导出 $\varphi_0 = 0^\circ$ 附近GTD解的形式。参见图8

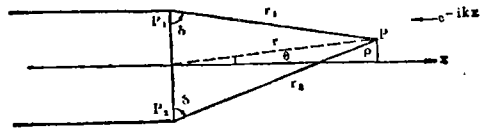


图8 轴线附近 P 点与柱的几何关系

设观察点 P 甚靠近柱轴,以致只能收到 P_1 、 P_2 的衍射线,而 P_3 的贡献收不到。此外, P 距柱体甚远,但不与发射点重合,使 $\delta \simeq \cos^{-1} \left(\frac{a}{r} \right)$ 。

在上述条件下,仿前节推导,可得 $\varphi_0 = 0^\circ$ 附近GTD解的形式为:

$$U(P) = \frac{2a \cdot \sin \frac{\pi}{n} \cdot e^{ik' \cos \delta \sin \delta + a \cos \delta}}{n \cdot r \cdot \sqrt{2\pi k \rho \cos \delta}} \cos \left(k \rho \cos \delta - \frac{\pi}{4} \right) \left[\left(\cos \frac{\pi}{n} - 1 \right)^{-1} + \left(\cos \frac{\pi}{n} - \cos \frac{2\delta}{n} \right)^{-1} \right] \quad (8)$$

可见,当 P 趋近轴线时, $\rho \rightarrow 0$ 。由于 $\frac{1}{\sqrt{\rho \cos \delta}} \rightarrow \infty$,上式发散;当 P 趋近发射点时, $r \rightarrow \infty$ 。由于 $\delta \rightarrow \frac{\pi}{2}$,衍射因子发散。

我们首先消除焦散性奇异因子 $\frac{1}{\sqrt{\rho \cos \delta}}$

为此, 考虑 Bessel 函数的大宗量渐近式:

$$J_0(k\rho \cos \delta) = \sqrt{\frac{2}{\pi k \rho \cos \delta}} \cdot \cos\left(k\rho \cos \delta - \frac{\pi}{4}\right) \quad (9)$$

若 $\rho \rightarrow 0$, 上式右端发散。对比(8)式易知: 这两式在 $\rho \rightarrow 0$ 时, 其发散性质一样。由此得到(8)式的修正因子 F_0 :

$$F_0 = \frac{1}{2} \sqrt{2\pi k \rho \cos \delta} \cdot \sec\left(k\rho \cos \delta - \frac{\pi}{4}\right) \cdot J_0(k\rho \cos \delta) \quad (10)$$

与(8)式相乘得:

$$U(P) = \frac{a \cdot \sin \frac{\pi}{n}}{n \cdot r} \cdot e^{ik(r \cos \theta \sin \delta + a \cos \delta)} \cdot J_0(k\rho \cos \delta) \cdot \left[\left(\cos \frac{\pi}{n} - 1 \right)^{-1} + \left(\cos \frac{\pi}{n} - \cos \frac{2\delta}{n} \right)^{-1} \right] \quad (11)$$

这就消除了焦散奇异因子。

现考察 D 中的发散因子: $\left(\cos \frac{\pi}{n} - \cos \frac{2\delta}{n} \right)^{-1}$

$\xrightarrow[\delta \rightarrow \pi/2]{\delta \rightarrow 0} \infty$ 。我们令 $r \rightarrow \infty$ 的速度与 $D \rightarrow \infty$ 的速度相同, 即: $\cos \delta = a/r$ 。同时考虑镜反射波 $U_0 = e^{ikx}$, 总波场应为: $U = U_0 + U_D$ 。在 $ka \gg 1$ 条件下, 可得:

$$U(P) = \frac{-ika^2 J_0(ka \sin \varphi_0)}{2r} \cdot e^{ikr} \quad (12)$$

上式就是 GTD 解经处理后于 $\varphi_0 = 0^\circ$ 附近区域的解。

2. 正横方向时对 GTD 解的处理

正横入射时 ($\varphi_0 = 90^\circ$), 柱侧面的镜反射在回波中占优势, 故来自 P_1 、 P_2 的衍射波可略去不计。由于反讨论的问题满足高频、远场条件, 可以利用 Kirchhoff 积分公式求出侧面贡献。

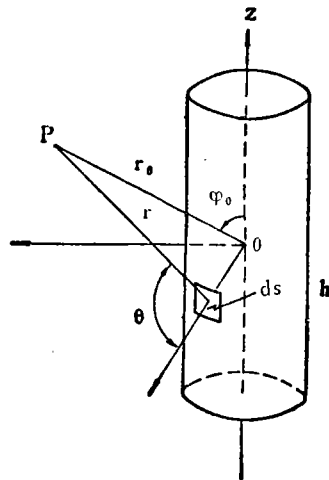


图9 Kirchhoff积分所用坐标

如图9建立坐标。在刚柱条件下, 由均匀介质中的 Kirchhoff 积分公式^[4]得:

$$U_s = \frac{-i}{\lambda} \int_s \frac{\cos \theta}{r} \cdot e^{-zikr} ds \quad (13)$$

λ 为波长。式中各几何量由图9给出。我们利用三井田的近似计算法^[5], 求得在 $\varphi_0 = 90^\circ$, $ka \gg 1$ 条件下的回波解为:

$$U_s = \frac{h}{r_0} \cdot \sqrt{\frac{a}{2\lambda}} \cdot e^{i\varphi} \quad (14)$$

此处未考虑蠕波贡献。

当 $\varphi_0 = 90^\circ$ 时, 我们用(14)式取代发散的 GTD 解。

五、实验与理论的对比

我们利用 SC-1 型声场测试小水槽, 进行了圆柱形目标反向散射模拟实验。采用的目标有不锈钢柱、黄铜柱和硬铝柱。实验与理论的对比如图10~图13所示。图中横坐标为 φ_0 。图12仅反映 P_1 的回波。各结果均已用 $\varphi_0 = 0^\circ$ 处回波归一。

六、讨论与结论

1. 由实验结果看, 理论与实验大致相

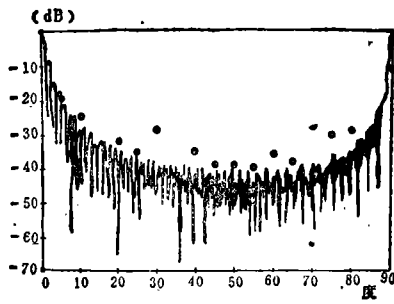


图10 不锈钢柱 $ka=69$

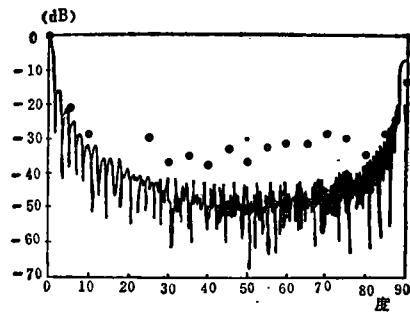


图11 黄铜柱 $ka=48$

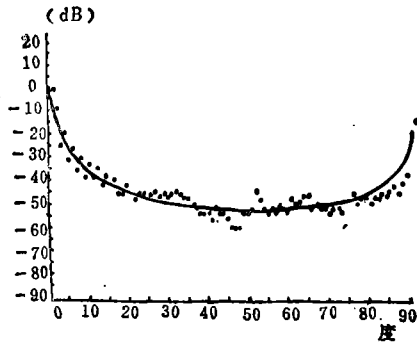


图12 黄铜柱 $ka=36$ (来自 P_1 的回波强度)

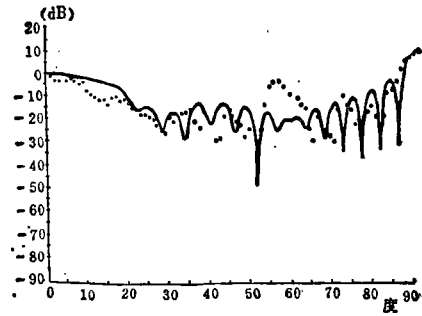


图13 铁柱 $ka \approx 4$

符。实验值未显示剧烈的起伏。因为理论曲线是在计算机上以 0.2 度步长绘出，而实验装置调节精度只到“度”。另外，收发换能器自身的开角为 1.5° ，故每次的读数都是该域内的平均值。

2. 0° 与 90° 附近实验值与理论值吻合得较好。而在 45° 附近实验值高于理论值。这可能是接收系统未加选频电路致使信噪比较低所致。

3. 我们曾对同一个目标的反向散射场用 GTD 和 Kirchhoff 近似两种理论分别进行了计算。并绘出相应的目标指向性图。发现：两条理论曲线在相位上相当一致；在幅度上 GTD 比 Kirchhoff 近似平均高出约 5 分贝。

此外，前者结果比后者更精细。

4. 尽管 GTD 是大波数条件下的近似理论，但实验显示，即使 $ka \sim 4$ 时，它仍能给出较好的结果。如图13所示。

参考文献

- [1] Skudrzyk. E. "The Foundations of Acoustics" Spring-Verlag, wien, New York 1971, P557
- [2] Keller. J. B. "Diffraction by an aperture". J. J. Appl. Phys., Vol. 28. 1957. P426~444
- [3] Keller. J. B. "Geometrical Theory of Diffraction". J. Opt. Soc. of America, Vol. 52. 1962. P 116~130
- [4] 汪德昭, 尚尔昌合著《水声学》, 科学出版社, 1981年 P362
- [5] 三井田惇郎·浮贝雅裕, "有限长刚圆柱による球面波の反射" 日本音响学会志, 36卷 4号, 1980